



# سنجش از دور

## و GIS ایران



سال ششم، شماره دوم، تابستان ۱۳۹۳  
Vol. 6, No. 2, Summer 2014

۸۵-۹۸

## تخمین میزان زیست‌توده جنگل‌ها با استفاده از تصاویر رادار با روزنَه مجازی مطالعهٔ موردي: جنگل خiroودکنار نوشهر

محمود رضا صاحبی<sup>\*</sup>، علی محمدزاده<sup>۲</sup>

<sup>۱</sup> و <sup>۲</sup>. استادیار گروه فتوگرامتری و سنجش از دور، دانشکده مهندسی نقشه‌برداری، پژوهشکده سنجش از دور، دانشگاه صنعتی خواجه نصیرالدین طوسی

تاریخ پذیرش مقاله: ۱۳۹۳/۱۱/۱۲

تاریخ دریافت مقاله: ۱۳۹۳/۳/۲۸

### چکیده

تجمع گازهای گلخانه‌ای در اتمسفر، مهم‌ترین عامل افزایش دمای کره زمین از نیمه دوم قرن بیستم به بعد، شناخته شده است. به‌دامانداختن کربن در جنگل‌ها و میان درختان راه‌حلی عملی، کارآمد و ارزان برای کاهش سطح دی‌اکسیدکربن در اتمسفر است. بنابراین اندازه‌گیری زیست‌توده در بررسی تغییرات آب‌وهوايی و چرخه کربن جهانی اهمیت ویژه‌ای دارد. در پژوهش حاضر روشی بر پایه تبدیلات موجک به‌منظور تخمین زیست‌توده در منطقه‌ای جنگلی با درختان پهن‌برگ در شمال ایران ارائه شده است. تبدیلات مختلف موجک (تبدیلات دوبعدی گستته) روی تصویر رادار با روزنَه مجازی سنجنده ALOS PALSAR اعمال شدند و ضرایب به‌دست‌آمده به‌عنوان داده‌های جداگانه ذخیره شدند. میزان همبستگی هریک از پارامترهای محاسبه‌شده با مقدار زیست‌توده به‌وسیله آنالیز رگرسیون چندگانه بررسی شد. نتایج نشان دادند که ضرایب به‌دست‌آمده از تبدیل موجک در مقایسه با سایر تبدیلات، همبستگی بیشتری با مقدار زیست‌توده دارند. در تجزیه یک مرحله‌ای، مقدار همبستگی با زیست‌توده تقریباً ۰/۵ و در تجزیه دوم مرحله‌ای تصاویر، مقدار همبستگی به‌دست‌آمده برای تصویر مایکروویو به بیش از ۷۵/۰ ارتقا پیدا کرد. پژوهش حاضر نشان داد که استفاده از تبدیلات موجک می‌تواند روش مناسبی برای تخمین زیست‌توده - به‌ویژه در مناطقی با ساختار پوشش گیاهی پیچیده - باشد.

**کلیدواژه‌ها:** تصاویر آلوس پالسار، تبدیل موجک، زیست‌توده جنگل، آنالیز رگرسیون چندگانه.

\* نویسنده مکاتبه‌کننده: تهران، خیابان ولی‌عصر، تقاطع میرداماد، دانشگاه صنعتی خواجه نصیرالدین طوسی، دانشکده مهندسی نقشه‌برداری، پژوهشکده سنجش از دور،  
تلفن: ۰۹۱۲۱۵۹۲۵۸۱

**۱- مقدمه**

کنند. تحقیقات زیادی در زمینه طراحی روش‌ها و مدل‌هایی برای اندازه‌گیری پارامترهای بیوفیزیکی جنگل - مانند تاج پوشش، شاخص سطح برگ، زیست‌توده و سن درختان - از داده‌های مختلف سنجش از دور شامل عکس‌های هوایی، تصاویر چندطیفی، ابرطیفی، تصاویر با قدرت تفکیک بالا، رادر با روزنَه مجازی<sup>۱</sup> و داده‌های لیدار<sup>۲</sup> انجام گرفته است. وابستگی بازتابش طیفی یا شاخص‌های گیاهی خصوصاً در مناطق جنگلی با ساختار پیچیده که مقدار بازتابش طیفی در زیست‌توده<sup>۳</sup> است. در اندازه‌گیری زیست‌توده در مقیاس‌های مختلف منطقه‌ای تا جهانی در تخمین میزان کربن انتشار یافته در جو، بررسی میزان فرسایش خاک و تغییرات گونه‌های زیستی و اکوسیستم منطقه Houghton et al., 2001; Foody, (2003; LU, 2005) زیست‌توده به طور کلی شامل توده زنده موجود روی سطح و زیرسطح زمین - مانند درختان، بوته‌ها، و ریشه‌ها - و توده مرده به جامانده از بقایای فعالیت موجودات زنده در خاک است. به علت دشواری جمع‌آوری اطلاعات در مورد زیست‌توده موجود در زیر سطح زمین، اکثر تحقیقات و پژوهش‌ها بر زیست‌توده موجود در سطح زمین متتمرکز شده‌اند (Lu, 2005). روش‌های سنتی برپایه جمع‌آوری داده‌های زمینی، دقیق‌ترین روش‌ها برای تخمین زیست‌توده به شمار می‌آیند. البته این روش‌ها غالباً زمان بر، پرهزینه و در مناطقی با تپوگرافی پیچیده با مشکلات فراوانی روبرو هستند. افزون بر این، داشتن تخمین مناسبی از میزان زیست‌توده با این روش‌ها در مقیاس وسیع تقریباً غیرممکن است. به همین دلیل در سال‌های اخیر، استفاده از سنجش از دور در تخمین زیست‌توده مورد استقبال قرار گرفته است (Nelson et al., 2000; Steininger, 2000; Zheng et al., 2004; Lu, 2005).

داده‌های ماهواره‌ای می‌توانند امکان پایش مناطق وسیع را در بازه‌های زمانی کوتاه فراهم کنند و بازده و کاربرد مطالعات زمینی محدود و جمع‌آوری داده‌های زمینی را افزایش دهنند. پژوهشگران باید توجه داشته باشند که داده‌های سنجش از دور نمی‌توانند به طور کامل جای اندازه‌گیری‌های زمینی را در تخمین زیست‌توده پر

- 
1. Biomass
  2. SAR
  3. LiDAR
  4. Polarization
  5. Correlation

بین طول‌های  $51^{\circ}30'$  و  $51^{\circ}35'$  و عرض‌های  $30^{\circ}30'$  و  $30^{\circ}36'$  و  $30^{\circ}37'$  واقع شده است. ارتفاع در این منطقه از صفر تا ۲۰۵۰ متر بالاتر از سطح دریا متغیر است.

پوشش گیاهی منطقه از نوع درختان پهن برگ است و جنگل‌های این نواحی از نوع جنگل‌های هیرکانی هستند. جنگل‌های هیرکانی از منحصر به فردترین انواع جنگل‌ها در دنیا هستند که حدود  $3/7$  میلیون هکتار از پوشش جنگلی ایران را در گذشته تشکیل می‌دادند و اکنون به  $1/8$  میلیون هکتار تقلیل یافته است (Sadeghi, 2008). قدمت این جنگل‌ها که از دوران ژوراسیک به جای مانده‌اند و از بقایای دوران سوم زمین‌شناسی هستند از یکسو، وجود گونه‌های نادری مانند راش، بلوط، توسکا، نارون، گیلاس و حشی، بارانک، سرخدار، نمدار، انجیلی، افراپلت، لیلکی، و لرگ از سوی دیگر، این جنگل‌ها را به موزه زنده محیط‌زیست تبدیل کرده است. تصویر منطقه مطالعه‌شده در شکل ۱ دیده می‌شود.

## ۲-۲- داده‌های استفاده‌شده

### ۲-۲-۱- داده‌های زمینی

داده‌های آماربرداری زمینی از منطقه در تابستان سال ۱۳۸۸ به وسیله گروه تحقیقاتی پرديس کشاورزی و منابع طبیعی دانشگاه تهران جمع‌آوری شد. به‌منظور برداشت داده‌های زمینی، منطقه جنگلی به هشت پلیگون تقسیم شد و در هر پلیگون تعدادی پلات<sup>۲</sup> نمونه‌برداری مشخص شد. هر پلات، دایره‌ای است به مساحت  $1000$  مترمربع روی زمین افقی. مختصات مرکز هر پلات به وسیله GPS ثبت شده و از مرکز هر پلات تا شعاع  $17/8$  متر، مشخصات تمام درختان با قطر برابر سینه بیش از  $7$  سانتی‌متر ثبت شده است. مشخصات ثبت شده اینها هستند: شماره هر درخت،

1. Wavelet  
2. Plot

باندهای P و L پایین‌تر از باند C است (Rignot et al., 1995). در مقابل، هنگامی که زیست‌توده از میزان معینی بیشتر می‌شود، بازپراکنش طول موج‌های بلندتر بیش از باند C افزایش می‌یابد. در باند C، بیشترین بازپراکنش مربوط به شاخ و برگ‌هاست و معمولاً در Ranson et al., (1997) باندهای L و C در تخمین زیست‌توده، در مناطق جنگلی با ساختار پیچیده در حد  $100\text{t/ha}$  و در مناطقی که ساختار ساده‌تر و یک گونه غالب داشته باشند، در حدود  $25\text{t/ha}$  اشباع می‌شوند؛ درنتیجه استفاده از ترکیب باند P و باند L یا C مناسب‌تر است. بهترین نتیجه، با استفاده از نسبت بین باندهای L/C با پلاریزاسیون HV به دست آمده است. می‌توان گفت نسبت بین باندها کورلیشن بین بازپراکنش و زیست‌توده را افزایش می‌دهد (Santos et al., 2003) به‌علت در دسترس نبودن داده‌های آماربرداری زمینی از مناطق مختلف جنگلی در ایران و همچنین محدودیت دسترسی به تصاویر ماهواره‌ای از سنجنده‌های گوناگون با پوشش زمانی و مکانی مورد نیاز، متأسفانه تحقیقات انجام گرفته در زمینه تخمین زیست‌توده با استفاده از تصاویر ماهواره‌ای در سطح کشور بسیار محدوده (Sadeghi, 2009; Falahati Bagherabadi, 2008). هدف اصلی تحقیق حاضر، ایجاد مدلی برای تخمین زیست‌توده در منطقه جنگلی‌ای در شمال ایران با استفاده از داده‌های رادار با روزنۀ مجازی است. در این مطالعه از آنالیز موجک<sup>۱</sup> برای استخراج اطلاعات مورد نیاز از تصویر استفاده شده است.

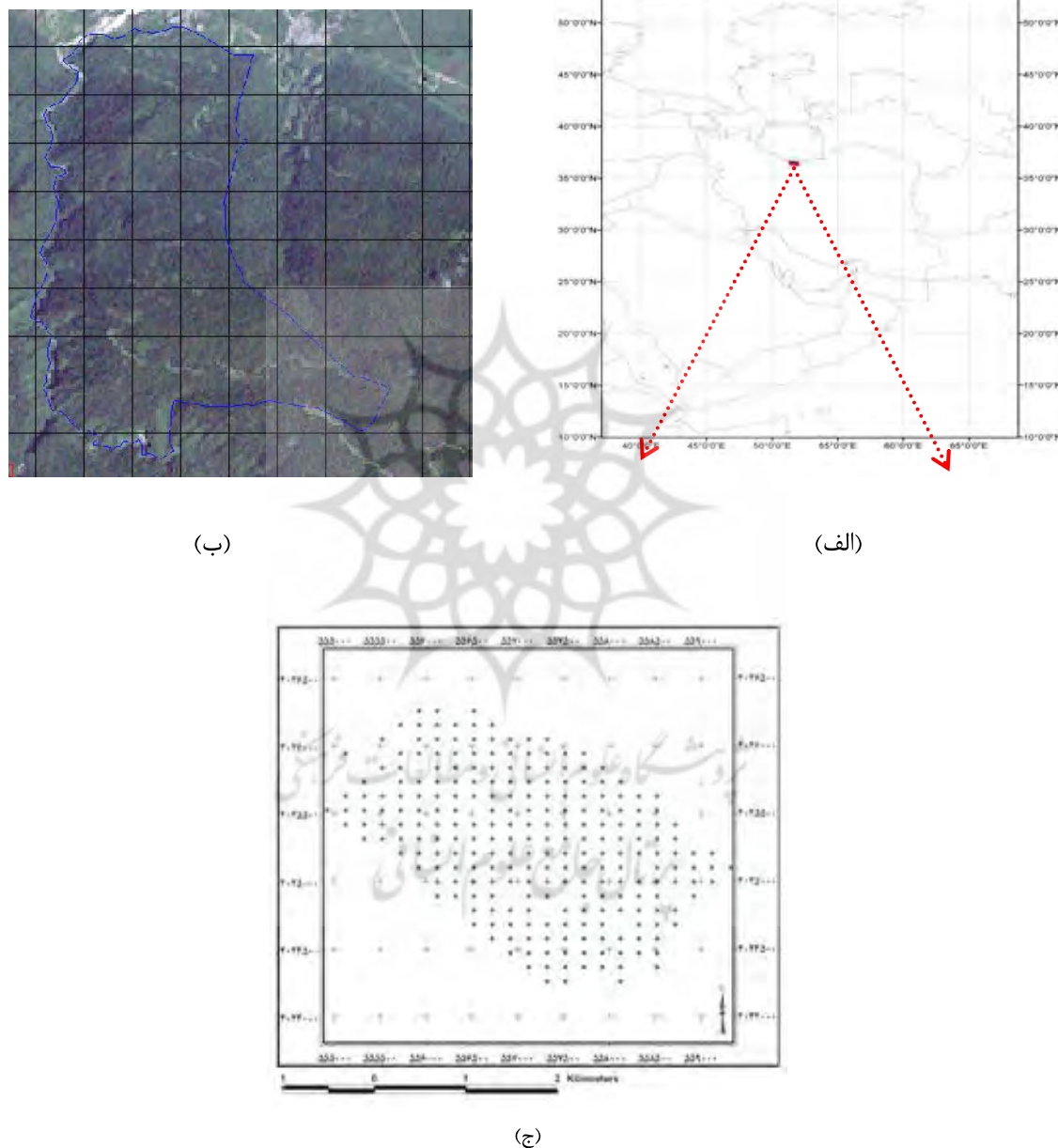
## ۲- مواد و روش‌ها

### ۲-۱- منطقه مورد مطالعه

منطقه مطالعه‌شده در جنگل آموزشی و پژوهشی دانشکده منابع طبیعی دانشگاه تهران واقع در هفت کیلومتری شرق شهرستان نوشهر در منطقه خیروودکنار در استان مازندران، با وسعتی در حدود  $80\text{ }\text{17$  هکتار و

دیده می شود که گروه تحقیقاتی پردیس کشاورزی و منابع طبیعی دانشگاه تهران آن را در اختیار نگارندگان قرار داده اند.

شماره پلاط مربوط به آن، نوع گونه گیاهی، مساحت پایه و قطر برابر سینه، زیست توده به دست آمده براساس داده های آماربرداری زمینی برای هر پلاط در جدول ۱



شکل ۱. منطقه مطالعه شده الف) روی نقشه؛ ب) تصویر ALOS AVNIR-2 دریافت شده در ۶ ژوئن ۲۰۰۸؛  
ج) نقشه پلات های زمینی موجود در منطقه

## تخمین میزان زیست‌توده جنگل‌ها با استفاده از تصاویر رادار با روزنۀ مجازی (مطالعهٔ موردنی: جنگل خیروودکنار نوشهر)

جدول ۱. زیست‌توده به دست‌آمده براساس آماربرداری زمینی برای یک پلات

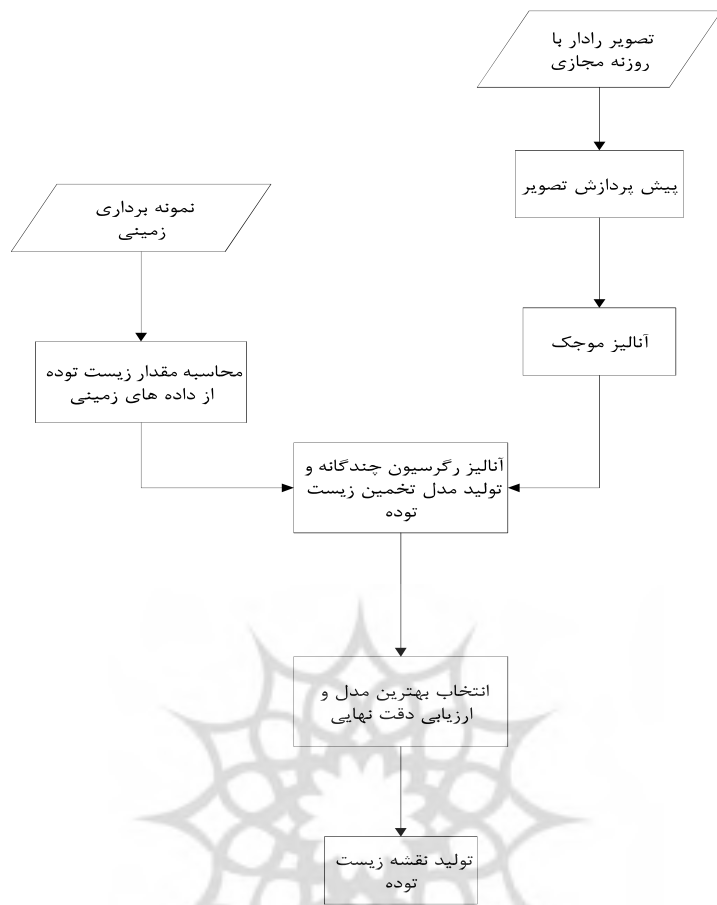
شماره پلات	شماره درخت	نوع درخت	قطر برابر سینه (cm)	زیست‌توده هر درخت (kg/ha)	زیست‌توده پلات (t/ha)
۱	۱	راش	۱۱۲	۷۹۹۷/۷	۲۴۵/۳
	۲	راش	۴۲	۸۲۱/۷	
	۳	راش	۱۱	۳۶/۷	
	۴	راش	۲۴	۲۲۴/۳	
	۵	راش	۱۹	۱۳۰/۴	
	۶	ممرز	۱۹	۱۳۰/۴	
	۷	راش	۵۹	۱۸۰۷/۸	
	۸	راش	۵۶	۱۶۰۱/۶	
	۹	راش	۵۴	۱۴۷۲/۰	
	۱۰	راش	۲۹	۳۴۷/۹	
	۱۱	راش	۱۴	۶۴/۲	
	۱۲	راش	۱۰	۲۹/۴	
	۱۳	راش	۱۸	۱۱۵/۰	
	۱۴	راش	۱۴	۶۴/۲	
	۱۵	راش	۲۹	۳۴۷/۹	
	۱۶	راش	۸۸	۴۵۷۰/۶	
	۱۷	راش	۷۷	۳۳۵۳/۰	
	۱۸	راش	۴۴	۹۱۵/۳	
	۱۹	راش	۳۳	۴۶۹/۶	
	۲۰	راش	۱۰	۲۹/۴	

### ۳-۲- روشهای اجرا

الگوریتم کلی پیاده‌سازی شده در پژوهش حاضر در شکل ۲ دیده می‌شود. به طور کلی این روش شامل جمع‌آوری داده‌های زمینی و محاسبه زیست‌توده با استفاده از داده‌های زمینی، پیش‌پردازش تصویر رادار با روزنۀ مجازی، محاسبه ضرایب تبدیل موجک، آنالیز رگرسیون چندگانه و محاسبه مدل تخمین زیست‌توده و تهیۀ نقشه زیست‌توده از منطقه مورد نظر است. هر یک از مراحل ذکر شده به ترتیب در بخش‌های جداگانه در ادامه شرح داده شده‌اند.

### ۲-۲- تصاویر ماهواره‌ای

تصویر استفاده شده در این مطالعه، تصویر رادار با روزنۀ مجازی متعلق به سنجنده ALOS PALSAR است که در باند L با قدرت تفکیک مکانی ۱۲/۵ متر تصویربرداری می‌کند. تصویر در تاریخ ۲۷ ژوئن سال ۲۰۰۸ در ساعت ۱۸:۵۸ از منطقه دریافت شده و متعلق به مسیر ۹۹۹۹۹ و مدار ۱۲۹۲۰ و عبور صعودی است. زاویۀ تابش ۳۸/۷ درجه، و پلاریزاسیون تصویر HV و HV است. تصویر موردنظر از آرشیو داده‌های سازمان فضایی اروپا دریافت شده است.



شکل ۲. نمودار الگوریتم پیاده‌سازی شده

### ۲-۳-۲- پیش‌بردازش تصاویر رادر با روزنه مجازی

میزان تغییراتی توپوگرافی منطقه به عنوان تغییر زاویه تابش روی بازپراکنش ثبت شده به وسیله سنجنده بسیار مؤثر است؛ درنتیجه حذف اثر توپوگرافی خصوصاً در مناطقی با ناهمواری‌های زیاد، پیش از استفاده از داده‌های رادر با روزنه مجازی ضروریست. برای حذف اثر توپوگرافی، داشتن مدل رقومی زمین از منطقه با قدرت تفکیک مناسب در حد قدرت تفکیک پیکسل‌های تصویر الزامی است. مدل رقومی موجود از منطقه با قدرت تفکیک ۱۰ متر تولید شده از نقشه‌های ۱/۲۵۰۰۰ با دقت ارتفاعی بهتر از ۶ متر در این مرحله به کار رفت. تصحیح توپوگرافی و زمین مرجع کردن تصویر ALOS PALSAR با استفاده از الگوریتم

### ۲-۳-۲- محاسبه زیست‌توده از داده‌های زمینی

زیست‌توده موجود در هر درخت با استفاده از رابطه (۱) محاسبه شد (FAO, 1997).

$$Y = 10^{(-/55 + \log_{10} BA)} \quad (1)$$

که در آن،  $Y$  نمایش دهنده زیست‌توده هر درخت بر حسب کیلوگرم و  $BA$  نمایش دهنده سطح پایه بر حسب سانتی‌متر مربع است. در هر پلات، با تقسیم مجموع  $Y$  مربوط به کل درختان واقع شده در هر پلات بر مساحت پلات، مقدار کل زیست‌توده موجود بر حسب ۲۱۰ تن بر هکتار بدست می‌آید. از ۲۴۶ پلات، تعداد ۳۶ پلات برای تولید مدل‌های تخمین زیست‌توده و آنالیز همبستگی و تعداد ۳۶ پلات برای ارزیابی دقت نهایی مدل انتخابی مورد استفاده قرار گرفت.

بالاگذر دارای ضرایب افقی، قائم و قطری برای بازسازی تصویر به کار گرفته می‌شوند. در پژوهش حاضر تکرار فیلتر کردن تصاویر در مرحله دوم متوقف شده است زیرا از مرحله سوم به بعد مقادیر تعداد زیادی از پیکسل‌ها به صفر تبدیل شد.

### ۴-۳-۲- آنالیز رگرسیون چندگانه، مدل‌سازی و ارزیابی دقت

پس از اعمال هر یک از تبدیلات ذکر شده روی تصویر PALSAR، هر یک از تصاویر تولید شده به عنوان متغیر مستقل وارد آنالیز رگرسیون شدند تا بهترین متغیرها از نظر بالاتر بودن میزان همبستگی با زیست توده انتخاب شوند و بر این اساس بهترین مدل تخمین زیست توده تولید شود. استراتژی به کار گرفته شده در انتخاب پارامترهای شرکت کننده در مدل تخمین زیست توده، روش مرحله به مرحله نام دارد، که در آن عملیات فقط با یک پارامتر ثابت آغاز می‌شود و در هر مرحله یک متغیر به مدل اضافه می‌گردد و میزان همبستگی کلی محاسبه می‌شود. در هر مرحله پس از محاسبه همبستگی، متغیرهایی که نقشی در تقویت مدل ندارند حذف می‌شوند. این روش تضمین می‌کند که مدل با کمترین تعداد متغیرهای مستقل به اتمام برسد. در نهایت مدلی باید به عنوان مدل بهینه انتخاب شود که تعداد پارامترهای تشکیل دهنده آن از ۱۰ کمتر و همبستگی آن بالاتر از ۰/۶ باشد (Wei, 2008). در پژوهش حاضر به منظور ارتقای دقت تخمین زیست توده، حد آستانه بیشترین تعداد متغیرهای مستقل شرکت کننده در هر مدل ۸ و کمترین همبستگی مورد قبول ۰/۷ در نظر گرفته شد. براساس این حد آستانه‌های در نظر گرفته شده، بهترین مدل

پیاده‌سازی شده در نرم‌افزار ASF Map Ready که دانشگاه آلاسکا آن را تولید کرده است انجام پذیرفت. این نرم‌افزار به منظور انجام عملیات زمین‌مرجع کردن دقیق زمین‌مرجع کردن زیر ۱۰ متر و تصحیح توپوگرافی روی تصاویر رادار با روزنامه مجازی از سنجنده‌های مختلف و با فرمتهای گوناگون ایجاد شده است (Beaudoin et al., 1995).

### ۳-۳-۲- آنالیز موجک

ضرایب موجک استخراج شده از تصویرهای با قدرت تفکیک بالا نشان‌دهنده تغییرات محلی با فرکانس زیاد و ضرایب استخراج شده از تصاویر با قدرت تفکیک متوسط نشان‌دهنده تغییرات با فرکانس متوسط یا کم هستند. از ویژگی‌های مهم تبدیلات موجک، محلی‌سازی<sup>۱</sup> در دامنه‌های زمان و فرکانس است و در صورت در اختیار داشتن تصویر چندطیفی یا ابرطیفی قابلیت استفاده از اطلاعات طیفی و بافت چندین باند مختلف تصویر به طور همزمان در اختیار قرار می‌گیرد. در مطالعه حاضر برای ارزیابی توانایی تبدیل موجک در استخراج زیست توده از تصاویر ماهواره‌ای، تبدیلات مختلف موجک دو بعدی روی تصویر منطقه اعمال شده است. تبدیلاتی که به کار گرفته شدند، اینها هستند: Misiti, ) Sym<sup>۵</sup> N, Coif<sup>۵</sup> N, Bior<sup>۳</sup> NM, Db<sup>۳</sup> N (1996).

تبدیلات ۱ تا Db ۱۰ به صورت یک مرحله‌ای و تبدیلات ۲ به صورت Sym ۵, Coif ۵, Bior ۳۵, Db ۲ به صورت دو مرحله‌ای روی تصویر اعمال شدند. حاصل اعمال این تبدیلات در هر مرحله،<sup>۴</sup> تصویر است که نشان‌دهنده تغییرات با فرکانس زیاد در جهت سطراها و ستون‌ها، تغییرات با فرکانس زیاد در سطراها و تغییرات با فرکانس کم در ستون‌ها، تغییرات با فرکانس زیاد در ستون‌ها، و تغییرات با فرکانس کم در سطراها و ستون‌ها هستند. در هر مرحله از انجام تبدیل، تصویر پایین‌گذر دارای ضرایب تقریبی به مرحله بعد منتقل شده و تصاویر

- 
1. Localization
  2. Daubechies
  3. Biorthogonal
  4. Coiflet
  5. Symlet

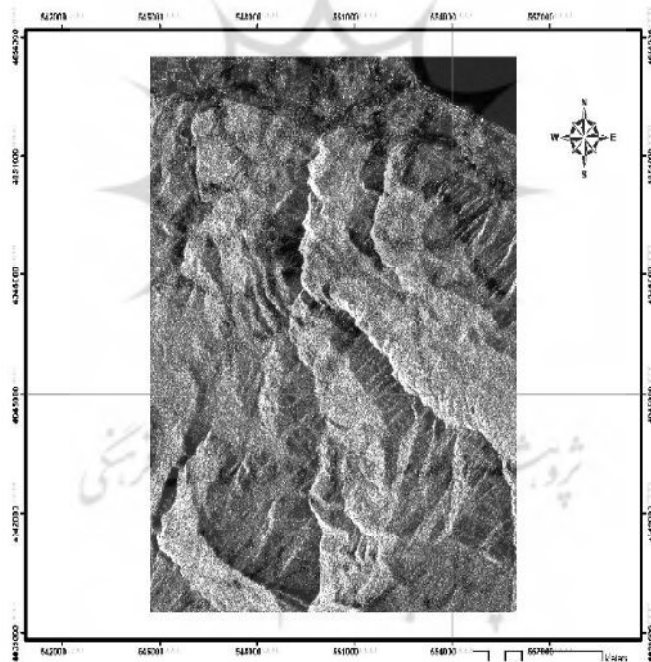
تأثیر متغیر دیگر قرار می‌گیرد و آیا متغیرها با هم تعامل دارند یا نه (Neter et al., 1990).

انتخاب شد و نقشه زیست‌توده منطقه با استفاده از مدل بهینه تولید گردید.

### ۳- نتایج و بحث

تصویر زمین‌مرجع شده در شکل ۳ دیده می‌شود. در مطالعه حاضر با استفاده از آنالیز رگرسیون چندگانه، میزان همبستگی تبدیلات موجک مرتبه اول Db1 تا Db10 با زیست‌توده آزمایش شد. جدول ۲ خلاصه ضرایب بدست‌آمده از آنالیز رگرسیون تبدیلات مرتبه اول Db1 تا Db10 اعمال شده روی تصویر PALSAR را نشان می‌دهد.

**ANOVA**-۵-۳-۲- ارزیابی صحت مدل‌ها با تست ANOVA برای ارزیابی صحت مدل‌های تولیدشده، از تست استفاده شد. تست ANOVA در رگرسیون بهمنظور بررسی وجود همبستگی معنادار بین پارامترهای مستقل و وابسته انجام می‌شود. تست t-student یا آنالیز واریانس‌ها شبیه آزمون ANOVA است اما انعطاف‌پذیری آن بیش از آزمون t است و قابلیت درنظرگرفتن بیش از یک متغیر را نیز دارد. همچنین می‌تواند مشخص کند که آیا یک متغیر تحت



شکل ۳. تصویر ALOS PALSAR زمین‌مرجع شده مربوط به منطقه مورد مطالعه

جدول ۲. خلاصه نتایج رگرسیون با استفاده از تبدیلات مرحله اول Db1 تا Db10 اعمال شده روی تصویر ALOS PALSAR

	Db 1	Db 2	Db 3	Db 4	Db 5	Db 6	Db 7	Db 8	Db 9	Db 10
R	.1596	.0649	.0655	.0690	.0659	.0669	.0692	.0668	.0641	.0733
R <sup>2</sup>	.355	.421	.429	.476	.434	.447	.478	.446	.410	.537

## تخمین میزان زیست توده جنگل‌ها با استفاده از تصاویر رادار با روزنامه مجازی (مطالعه موردی: جنگل خیروودکنار نوشهر)

دومرحله‌ای Db2 در جدول ۴ آورده شده است. ضرایب استاندارد شده یا بتا<sup>۱</sup> برای مقایسه بین ضرایب رگرسیون هنگامی که متغیرهای مستقل با واحدهای مختلف اندازه‌گیری می‌شوند به کار می‌روند، و ضرایب غیراستاندارد<sup>۲</sup> همان ضرایب مدل هستند. با مقدار بتای  $.0/.38$ ، متغیر HV-D2 بیشترین تأثیر را در مدل دارد. مقادیر آماره t نسبت اهمیت هریک از متغیرهای مستقل را در مدل بیان می‌کند. مقادیر t بیشتر از  $+2$  یا کمتر از  $-2$  بیشترین اهمیت را در مدل دارند. متغیرهایی با مقادیر بزرگ t و مقادیر کوچک.  $\text{Sig}^{3}$  بیشترین تأثیر را روی متغیر وابسته دارند.

آنالیزهای شرح‌داده شده برای تبدیلات یکمرحله‌ای به طور مشابه روی تبدیلات دومرحله‌ای نیز انجام گرفتند. خلاصه نتایج رگرسیون با استفاده از تبدیلات موجک دومرحله‌ای در جدول ۳ دیده می‌شود. با توجه به نتایج به دست آمده و مقایسه میزان همبستگی متغیرهای حاصل از تصویر PALSARALOS، بالاترین مقدار همبستگی میان متغیرهای مستقل وارد شده در آنالیز رگرسیون متعلق به تبدیل دومرحله‌ای Db2 اعمال شده روی تصویر PALSAR است. درنتیجه این تبدیل به عنوان بهترین تبدیل برای تخمین زیست توده انتخاب شد. ضرایب مدل تشکیل شده با متغیرهای مربوط به تبدیل

جدول ۳. خلاصه نتایج رگرسیون با استفاده از تبدیلات دومرحله‌ای اعمال شده روی تصویر ALOS PALSAR

	Bior 35	Sym 5	Db 2	Coif 5
R	.739	.759	.784	.744
R <sup>2</sup>	.546	.576	.614	.553

جدول ۴. ضرایب مدل تشکیل شده با استفاده از تبدیل دومرحله‌ای Db2

Model	Unstandardized Coefficients		Standardized Coefficients		
	B	Std. Error	Beta	T	Sig.
Constant	183/905	44/513		3/103	.0000
HH-H2	14/402	9/046	.0240	2/462	.0000
HV-A1	106/292	46/916	.0195	3/828	.0002
HH-H1	24/517	14/036	.0353	1/066	.0005
HV-V2	-31/000	3/785	-.0256	3/989	.0005
HH-D2	26/611	4/804	.0355	-2/962	.0000
HV-D2	242/2324	24/727	.0389	3/790	.0002
HH-A1	5/961	1/966	.0316	3/567	.0001

1. Beta

2. Unstandardized

3. Significance

جدول ۵. نتایج آزمون ANOVA برای مدل به دست آمده از تبدیل دومرحله‌ای 2 Db

Model	Sum of Squares	Number of variables	Mean Square	F	Sig.
Regression	$9 \times 10^8$	۷	۴/۱۸۶۱۶۴۷۰۴		
Residual	$2 \times 10^9$	۲۰۳	۶۱/۲۲۰۳۸۲۵۰	۷۹۷۸/۲۰	۰۰۰/۰
Total	$3 \times 10^9$	۲۱۰			

است. مقادیر مربوط به مجموع، جمع کلیه مقادیر تغییرات مربوط به رگرسیون و باقی مانده‌هاست. زمانی که نسبت تغییرات مربوط به رگرسیون به تغییرات مربوط به باقی مانده‌ها زیاد باشد، یعنی مدل توانسته است بیشتر تغییرات مربوط به متغیر وابسته را در نظر پگیرد. در مقابل، اگر تغییرات مربوط به باقی مانده‌ها از تغییرات مربوط به رگرسیون بیشتر باشد، نشان می‌دهد که مدل توانسته است متغیر وابسته را به خوبی محاسبه کند و ممکن است اضافه کردن پارامترهای دیگری به مدل بتواند مدل را بهبود بخشد. تعداد متغیرها در سطر مربوط به رگرسیون تعداد متغیرهای استفاده شده در مدل انتخاب شده و عدد ذکر شده در سطر مربوط به باقی مانده‌ها متغیرهایی را نشان می‌دهد که به دلیل وجود نداشتن وابستگی معنادار از مدل حذف شده‌اند. همبستگی این مدل با زیست‌توده بیش از ۷۰٪ و تعداد متغیرهای شرکت‌کننده در آن کمتر از ۸ است. درنتیجه این مدل به عنوان مدل بهینه انتخاب شد و برای تولید نقشهٔ زیست‌توده منطقهٔ مورد مطالعه به کار گرفته شد.

به منظور ارزیابی دقیق مدل انتخاب شده، از میان داده‌های زمینی که در انجام رگرسیون شرکت نکرده‌اند از ۳۶ مورد از پلات‌ها که به عنوان داده‌های تست انتخاب شدند، استفاده شده است. با استفاده از مدل انتخاب شده، مقدار زیست‌توده در این پلات‌ها تخمین

#### 1. Sum of Squares

بنابراین متغیرهای HV-A1 و HV-D2 بیشترین تأثیر و متغیر HH-H1 کمترین تأثیر را بر متغیر وابسته دارند. با استفاده از اعداد استخراج شده از ستون B و ضرب آنها در متغیر مرتبط، مدل تشکیل شده با استفاده از تبدیل دومرحله‌ای Db2 به صورت رابطه (۲) در می‌آید.

رابطه (۲)

$$\text{Biomass (t/ha)} = 183.905 + 14.402 (\text{HH-H2-Db2}) \\ + 106.292(\text{HV-A1 -Db2}) + 24.517(\text{HH-H1 -Db2}) - 31(\text{HV-V2 -Db2}) + 26.116(\text{HH-D2 -Db2}) \\ + 242.334(\text{HV-D2 -Db2}) + 5.961(\text{HH-A1 -Db2})$$

در جدول ۵ نتایج آزمون ANOVA و مقادیر مجموع مربعات، F و میانگین مربعات برای دو دسته تغییرات رگرسیون و باقی مانده‌ها محاسبه شده است.

مجموع مقادیر مربعات خطأ در آزمون ANOVA مقدار واریانس محاسبه شده را که به دلیل تأثیرات مستقل و تخمین خطأ حذف شده‌اند، نشان می‌دهد. نسبت مجموع مجذورات خطای میان‌گروهی و نسبت مجذورات خطای بین‌گروهی مقدار آماره F را به دست می‌دهد. مقادیر پایین F نشان‌دهنده تفاوت بین متغیرهای تصادفی و مقادیر بالای F نشان‌دهنده معنا دارابودن تفاوت بین گروه‌های است. پارامتر مجموع مربعات<sup>۱</sup> در واقع مجموع مربعات مقادیر خطاهای را نشان می‌دهد. نتایج مربوط به سطر رگرسیون، مقادیر تغییراتی را نشان می‌دهد که مدل توانسته است آنها را محاسبه کند و مقادیر مربوط به سطر باقی مانده‌ها مقادیری هستند که مدل موفق به محاسبه آنها نشده

دو یافته مهم را نشان می‌دهند: ۱) به‌طور کلی، ضرایب تبدیلات موجک به‌دست‌آمده از تصاویر مایکروویو در مقایسه با داده‌های اصلی همبستگی بیشتری با زیست‌توده دارند؛ ۲) تصویر مربوط به متغیر HV-V2 بالاترین مقدار همبستگی را با زیست‌توده و متغیر HH-H1 تصویر پایین‌گذر در جهت رنج، و تصویر بالاگذر در جهت آزیموت در پلاریزاسیون HH، کمترین مقدار همبستگی را با زیست‌توده دارند. آنالیز سیستم تصویربرداری مایکروویو فعال با روزنۀ مجازی به درک این پدیده کمک می‌کند. سیستم سنجنده‌های مایکروویو نیز به صورت دید جانبی هستند. همزمان با حرکت سنجنده رو به جلو، عوارض به صورت مایل اسکن می‌شوند. درختان، بهویشه تنه و ساقه، در جهت برخورد سیگنال بازپراکنش بیشتری دارند. بنابراین منطقاً به‌دلیل قرارگرفتن درختان در جهت دید سنجنده، اطلاعات با فرکانس بالا در جهت رنج قوی‌تر هستند و در مقایسه با اطلاعات موجود در جهت آزیموت همبستگی بالاتری با زیست‌توده دارند. به عنوان مهم‌ترین نکته می‌توان اشاره کرد که در این مقاله مدل‌های مختلف موجود تخمین زیست‌توده در یک منطقه جنگلی به صورت بومی با استفاده از داده‌های ALOS PALSAR برای نخستین بار آزمون و مقایسه شد و با تخمین زمینی نیز صحت‌سنجدی گردید.

#### ۴- نتیجه‌گیری

در پژوهش حاضر روشی براساس تبدیل موجک برای تخمین زیست‌توده ارائه و در منطقه جنگلی شمال ایران پیاده‌سازی شد. این مطالعه به هدف اصلی در خصوص ارائه مدلی با دقت مناسب برای تخمین زیست‌توده دست یافته است. نتایج به‌دست‌آمده با آزمون ANOVA صحت‌سنجدی شد و مقدار خطای واقعی مدل با مقادیر تخمینی زمینی مقایسه گردید. تبدیلات دوبعدی گسسته موجک روی تصویر دریافت‌شده در باند L اعمال شد و نتایج به‌دست‌آمده به منظور یافتن رابطه بین متغیرهای محاسبه شده و

زده شد و این مقدار با عملیات زمینی مقایسه شد. اختلاف مقادیر محاسبه شده و مقادیر اندازه‌گیری شده برای محاسبه پارامتر خطای کمترین مربعات به کار گرفته شد و میزان همبستگی نتایج به‌دست‌آمده با داده‌های زمینی با پارامتر  $R^2$  به عنوان ضریب تعیین، ارزیابی گردید. مقادیر به‌دست‌آمده  $(t.ha^{-1})$  و  $RMSE=25/7$  و  $R^2=0.88$  مدل انتخاب شده برای تولید نقشه زیست‌توده از منطقه مورد نظر به کار گرفته شد. نقشه تولید شده در شکل ۴ نشان داده شده است.

رونده افزایش مقدار همبستگی مدل‌ها از تبدیلات مرحله اول به مرحله دوم نشان می‌دهد که تبدیلات مرحله بالاتر می‌توانند دقت مدل‌های به‌دست‌آمده را افزایش دهند؛ اگرچه تبدیلات مرحله دوم و سوم متغیرهای زیادی را وارد آنالیز رگرسیون می‌کنند و از این نظر زمان پردازش را طولانی می‌کنند. همبستگی بیش از  $0.7$  در مدل‌های به‌دست‌آمده از تبدیلات دوم مرحله‌ای و تعداد متغیرهای مناسب بین  $6$  تا  $8$  متغیر در هر مدل، نشان می‌دهد که تبدیلات مرحله دوم و بالاتر می‌توانند میزان خطی بودن مدل را افزایش دهند. در این مطالعه، تبدیلات دوم مرحله‌ای برای انجام رگرسیون و به‌دست‌آوردن مدل کافی بود زیرا از مرحله سوم به بعد مقادیر تعداد زیادی از پیکسل‌ها به صفر تبدیل شد. برای تبدیلات خانواده Db از تبدیلات Db1 تا Db10 مقیاس افزایش می‌یابد. تبدیلات Db در آنالیز یک مرحله‌ای به کار گرفته شدند. در مرحله نخست، بهترین نتیجه از تبدیل Db4 در تصویر PALSAR و در مرحله دوم بهترین نتیجه از تبدیل Db2 به‌دست آمد. این نتایج نشان می‌دهند که مقیاس‌های پایین‌تر در مقایسه با مقیاس‌های بالاتر شامل Db8 تا Db10 همبستگی بهتری با مقدار زیست‌توده دارند (Jiang, 2006).

یافته‌های مطالعه حاضر نشان می‌دهند که حساسیت تصاویر مایکروویو به زیست‌توده با استفاده از تبدیل موجک افزایش می‌یابد. نتایج تحلیل‌های آماری،

Falahati Bagherabadi, M., 2008, **Fusion of Radar and Optical Satellite Images for Estimation of Forest Volumetric Coverage of Trees (Case study: North of Iran)**, M.Sc. thesis, Tehran University.

Foody, G.M., 2003, **Remote Sensing of Tropical Forest Environments: Towards the Monitoring of Environmental Resources for Sustainable Development**, International Journal of Remote Sensing, Vol. 24, PP. 4035–4046.

Foody, G.M., Cutler, M.E., Mcmorrow, J., Pe1z, D., Tangki, H., Boyd, D.S. & Douglas, I., 2001, **Mapping the Biomass of Bornean Tropical Rain Forest from Remotely Sensed Data**, Global Ecology & Biogeography, Vol. 10, PP. 379-387.

Houghton, R.A., 1991, **Tropical Deforestation and Atmospheric Carbon Dioxide**, Climate Change, Vol. 19, PP. 99–118.

Houghton, R.A., Lawrence, K.T., Hackler, J.L. and Brown, S., 2001, **The Spatial Distribution of Forest Biomass in the Brazilian Amazon: A Comparison of Estimates**. Global Change Biology, Vol. 7, PP. 731–746.

Jiang, P., 2006, **Biomass Estimation and Classification of Secondary Succession Using Radar And Optical Remote Sensing Data Based on Textural And Spectral Analysis In Amazonia**, The School of Graduate Studies Department of Geography, Geology, and Anthropology, Indiana State University, Terre Haute, Indiana, Ph.D. thesis.

زیستتوده به دست آمده از داده های زمینی تحلیل شدند. نتایج حاصل از این مطالعه نشان دادند که تبدیلات موجک به ویژه تبدیلات گسسته دو بعدی می توانند در تخمین زیستتوده با استفاده از تصاویر رادار با روزنئه مجازی به کار گرفته شوند. میزان خطی بودن رابطه موجود بین متغیرهای محاسبه شده از تصویر با به کار گیری تبدیلات دوم مرحله ای و بالاتر افزایش می یابد. توابع Coif5 و Db4 و Db2 در مقایسه با سایر تبدیلات آزمایش شده همبستگی بیشتری با مقدار زیستتوده دارند. آنالیز موجک، ابزاری مناسب برای استخراج اطلاعات بافت با مقیاس های متوسط تا بالاست که به علت قابلیت محلی سازی می تواند توبولوژی مکانی موجود در تصویر اصلی را حفظ کند و پژوهشگران را قادر به استفاده همزمان از اطلاعات طیفی و بافت تصاویر می سازد.

#### ۵- سپاس گزاری

نویسندهای لازم می دانند از زحمات آقای دکتر محمود زیری در جمع آوری داده های زمینی و راهنمایی های آقای مهندس بیانی که نقش مهمی در به نتیجه رسیدن این پژوهش داشتند، قدردانی کنند. همچنین از سازمان فضایی اروپا (ESA) برای در اختیار گذاشتن تصاویر ماهواره ای مورد نیاز سپاس گزاری می شود.

#### ۶- منابع

Beaudoin, A., Troufleau, D., Desbois, N., Piet, L. and Deshayes, M., 1995, **On the Use of ERS-1 SAR Data Over Hilly Terrain: Necessity of Radiometric Corrections For thematic Applications in IEEE Int, Geos. RS Symposium**, Florence, PP. 150-155.

FAO Forestry Department., 1997, **FAO Corporate Document Repository**, [Online]. [http://www.fao.org/documents/pub\\_dett.asp?pub\\_id=20126&lang=en](http://www.fao.org/documents/pub_dett.asp?pub_id=20126&lang=en).

- Kasischke, E.S., Tanase, M.A., Bourgeau-Chavez, L. and Borr, M., 2011, **Soil Moisture Limitations on Monitoring Boreal Forest Regrowth Using Spaceborne L-band SAR Data**, Remote Sensing of Environment, Vol. 7, PP. 227–232,
- Lu, D., 2005, **Aboveground Biomass Estimation Using Landsat TM Data in the Brazilian Amazon Basin**, International Journal of Remote Sensing, Vol. 26, PP. 2509–2525.
- Lucas, R.M., Curran, P.J., Honzak, M., Foody, G.M., Do Amaral, I. & Amaral, S., 1998, **The Contribution of Remotely Sensed Data in the Assessment of the Floristic Composition**, total biomass & structure of Amazonian tropical secondary forests, Regeneracaii Florestal: Pesquisas na Amazonia, Vol. 10, PP. 61-82.
- Misiti, M.M., 1996, **Wavelet Toolbox for Use with MATLAB**, The Mathworks Inc.
- Nelson, R.F., Kimes, D.S., Salas, W.A. and Routhier, M., 2000, **Secondary Forest Age and Tropical Forest Biomass Estimation Using Thematic Mapper Imagery**, Bioscience, Vol. 50, PP. 419–431.
- Neter, J., Wasserman, W. and Kutner, M.H., 1990, **In: Applied Linear Statistical Models, Third Edition**, Homewood, IL: Irwin.
- Ranson, K.J., Sun, G., Weishampel, J.F. & Knox, G., 1997, **Forest Biomass from Combined Ecosystem & Radar Backscatter Modeling**, Remote Sensing of Environment, Vol. 59, PP. 118-133.
- Rignot, E.J., Zimmerman, R. & Van Zyl, J.J., 1995, **Spaceborne Applications of P Band Imaging Radars for Measuring Forest Biomass**, IEEE Transactions on Geoscience & Remote Sensing, Vol. 59, PP. 167-179.
- Sadeghi, Y., 2009, **Forest Biomass Estimation Using Optical and SAR Data**, M.Sc. thesis, Tehran University.
- Santos, J.R., Freitas, C., Araujo, L.S., Dutra, L.V., Mura, J.C., Gama , F.F., Soler , L.S. & Sant' Anna, J.S., 2003, **Airborne P-band SAR Applied to the Aboveground Biomass Studies in the Brazilian Tropical Rainforest**, Remote Sensing of Environment, Vol. 87, PP. 482-493.
- Steininger, M.K., 2000, **Satellite Estimation of Tropical Secondary Forest Aboveground Biomass Data from Brazil and Bolivia**, International Journal of Remote Sensing, Vol. 21, PP. 1139–1157.
- Trotter, C.M., Dymond, J.R., Goulding, C.J., 1997, **Estimation of Timber Volume in a Coniferous Plantation Forest Using Landsat TM**, International Journal of Remote Sensing, Vol. 18, PP. 2209-2223.
- Wei, X. F., 2008, **Wavelet Analysis for above Ground Biomass Estimate In Temperate Deciduous Forests**, The School of Graduate Studies Department of Geography, Geology and Anthropology Indiana State University, Terre Haute, Indiana, Ph.D. thesis.

Wu, Y. and Strahler, A.H., 1994, **Remote Estimation of Crown Size, Stand Density, & Biomass on the Oregon Transect**, Ecological Applications, Vol. 42, PP. 299-312.

Zheng, D., Rademacher, J., Chen, J., Crow, T., Bresee, M., Le Moine, J. and Ryu, S., 2004, **Estimating Aboveground Biomass Using Landsat 7 ETM + data Across a Managed Landscape in Northern Wisconsin, USA**, Remote Sensing of Environment, Vol. 93, PP. 402–411.

